

چینه‌نگاری سنگی و زیست‌چینه‌نگاری رسوبات کرتاسه‌پسین (تورونین-کامپانین) بر پایه روزنبران شناور در لرستان، جنوب باخته خرمآباد

پیمان رجبی

استادیار گروه زمین‌شناسی، دانشگاه پیام‌نور، صندوق پستی ۳۶۹۷-۱۹۳۹۵ تهران، ایران

* paleo@dr.com نویسنده مسئول:

نوع مقاله: پژوهشی

دریافت: ۹۹/۳/۸ پذیرش: ۹۹/۹/۲۲

چکیده

در پژوهش حاضر به جهت مطالعه سنگ‌چینه‌شناسی و ریزیست دیرینه‌شناسی رسوبات کرتاسه در محدوده جنوب‌غرب خرم‌آباد، یک برش چینه‌شناسی بر روی تاقدیس پشت‌جنگل انتخاب شد. این برش با ۱۹۰ متر ضخامت عمدتاً از تناوب یکنواخت سنگ‌آهک که در طی یک رسوب‌گذاری پیوسته زمان تورونین میانی تا سانتونین پایانی تشکیل شده است. سازند ایلام در برش مورد مطالعه با مرزی تدریجی بر روی نهشته‌های پلازیک سازند سورگاه قرار گرفته و توسط سازند گورپی نیز با مرزی تدریجی و پیوسته پوشیده شده است. در مطالعات حاضر تعداد ۱۲ جنس، ۴۰ گونه و ۴ زیست‌زون از روزنبران پلانکتون تشخیص داده شد. بر اساس نحوه پراکندگی فسیلی گونه‌های شاخص در این برش چینه‌شناسی مشاهده و تشخیص داده شد که معرف سن تورونین میانی-سانتونین پایانی برای سازند ایلام در پژوهش اخیر می‌باشد.

واژه‌های کلیدی: سازند ایلام، بیواستراتیگرافی، تورونین، سانتونین، لرستان

پیش‌گفتار

۲۰۰۲). در زاگرس چین‌خورده، بخش بالایی کرتاسه پس از یک ایست رسوبی با سنگ‌آهک‌های سازند ایلام آغاز و با شیل‌های عمیق سازند گورپی ادامه می‌یابد. سازند ایلام به دو رخساره عمیق و کم‌عمق دیده می‌شود (مطیعی، ۱۳۷۵) که در لرستان اغلب دارای رخساره عمیق و ویژگی‌های محیط دریایی باز می‌باشد. برش الگوی این سازند که نشانگر رخساره‌های عمیق است در پایانه شمال باخته کبیرکوه در ۱۲ کیلومتری شهرستان ایلام اندازه‌گیری شده است. در این برش، سازند ایلام شامل ۱۹۰ متر سنگ‌آهک‌های رسی دانه‌بریز پلازیک خاکستری رنگ با لایه‌بندی منظم و میان‌لایه‌های نازک شیل و سن سانتونین-کامپانین است.

رخساره‌های کم‌عمق سازند ایلام در نواحی فارس و خوزستان گسترش دارد که شامل سنگ‌آهک‌های قلوه‌ای است که همچنان سن سانتونین تا کامپانین دارد. در برخی نقاط می‌توان ارتباط بین انگشتی دو رخساره پلازیک و کم‌عمق سازند ایلام را دید (آقانباتی، ۱۳۸۳). این سازند با سن سانتونین در نواحی فروافتادگی دزفول و فارس، دارای رخساره نریتیک است (مطیعی، ۱۳۷۵).

رشته‌کوه برخوردي زاگرس با روند NW-SE از شرق ترکيه تا کوههای مکران و از بین‌النهرین تا حوضه خلیج‌فارس با طولی در حدود ۲۰۰۰ کیلومتر گسترش دارد. این ساختار با ریخت‌شناسی خود دارای ویژگی‌های زمین‌ساختی و چینه‌شناسی منحصر به فرد، دارای عظیم‌ترین ذخایر هیدرولکربنی جهان است بهنحوی که مورد اخیر سبب می‌شود مطالعات زمین‌شناسی این محدوده ساختاری بسیار حائز اهمیت باشد (علوی، ۲۰۰۴). این زون ساختاری نشانگر بخشی از سیستم برخوردي عظیم آلپ-هیمالیا می‌باشد که در حاشیه صفحات عربی و اوراسیا شکل گرفته است (گلونکا، ۲۰۰۴). تنه‌شیست سازند ایلام در کرتاسه بالایی در یک حوضه فورلند همراه با فعالیت‌های شدید تکتونیکی بوده که می‌توان به فورانش پوسته اقیانوسی نئوتیس به زیر بلوك لیتوسفری ایران در طی کرتاسه پیشین تا پسین، فرارانش ورقه‌های افیولیتی از کف اقیانوس نئوتیس به حاشیه قاره عربی در کرتاسه بالایی و در نهایت برخورد لیتوسفر قاره‌ای آفرو-عربی با صفحه ایران در طی کرتاسه بالایی و دوره‌های بعدی اشاره کرد (بورل،

۳۳°۲۸' E ۴۷°۴۵' ۲۹" ۴۸°۵۶' ۵۸" و عرض جغرافیایی ' ۳۳°۲۸' N ۳۳°۳۰' ۱۰" - ۱۹" قرار دارد (شکل ۱).

روش مطالعه

جهت مطالعه ریزیستچینه‌نگاری سازند ایلام در برش مطالعه تعداد ۱۶۸ نمونه‌سنگی از سنگ‌آهک‌ها برداشت شد. در مرحله نمونه‌برداری وجود تغییرات سنگ‌شناسی از قبیل میان‌لایه‌های شیلی و نیز تغییر ضخامت لایه‌ها از نازک‌لایه به متوسط تا ضخیم‌لایه، سبب برداشت نمونه جدید از آن بخش‌ها می‌شد. هم‌چنین به منظور تعیین دقیق مرزهای پایین و بالا به ترتیب تعداد ۱۲ نمونه از شیل‌های سازند سورگاه و ۱۰ نمونه از شیل‌های آهکی سازند گوربی برداشت شده است. نمونه‌های شیلی و نرم سازند ایلام پس از خرد شدن به مدت ۴۸ ساعت در محلول آب‌اکسیژنه (H_2O_2) ۱۵٪ قرار گرفته و سپس بر روی الکهای ۱۲۰ میکرون (۱۲۵ میکرون) و ۲۲۰ میکرون (۶۳ میکرون) شستشو داده شده و پس از خشک‌شدن، با استفاده از میکروسکوپ دوچشمی نمونه‌های فسیلی سالم آن‌ها جدا گردیده و مورد شناسایی قرار گرفتند. از نمونه‌های سنگ‌آهکی و سخت سازند ایلام، به دلیل ماهیت سخت و آهکی بودن آن‌ها برش نازک تهیه شده و پس از شماره‌گذاری با میکروسکوپ دوچشمی مورد مطالعه قرار گرفتند. برای مطالعه و شناسایی نمونه‌های میکروفسیلی از منابع مختلفی از قبیل: (کارن، ۱۹۸۷؛ اسلیتر، ۱۹۸۹؛ وایند، ۱۹۶۵؛ ریازینسکی و کارن، ۱۹۷۹) و هم‌چنین برای معرفی بایوزون‌های سازند ایلام در برش مطالعه از (پرمولی‌سیلوا و ورگا، ۲۰۰۴) استفاده شده است.

سنگ‌چینه‌نگاری سازند ایلام در برش مورد مطالعه
توالی‌های سازند ایلام در برش مورد مطالعه با ضخامت ۱۹۰ متر شامل تنابوی از سنگ‌آهک متوسط تا ضخیم لایه کرمرنگ می‌باشد. مرز زیرین سازند ایلام را توالی‌های سازند سورگاه تشکیل می‌دهد (شکل ۲). در بخش پایانی سازند سورگاه تنابوی از سنگ‌آهک شیلی و مارنی متوسط تا ضخیم‌لایه به رنگ سبز تیره مشاهده می‌شود که با فواصل نسبتاً منظم میان‌لایه‌های نازک از مارن و شیل در آن ملاحظه می‌شود. ضخامت ظاهری این سازند در مقطع مورد نظر حدوداً ۷۰ متر می‌باشد. مرز پایینی

در این پژوهش به شناسایی ویژگی‌های زیست‌چینه‌نگاری و تغییرات سنی سازند ایلام در برش مورد نظر پرداخته خواهد شد و بر اساس ویژگی‌های فسیل‌شناسی موجود در توالی سنگ‌های رسوی و بر اساس (پرمولی‌سیلوا و ورگا، ۲۰۰۴) به معرفی زیست‌زون‌ها و در نهایت تعیین سن پرداخته خواهد شد.

پیشینه مطالعات

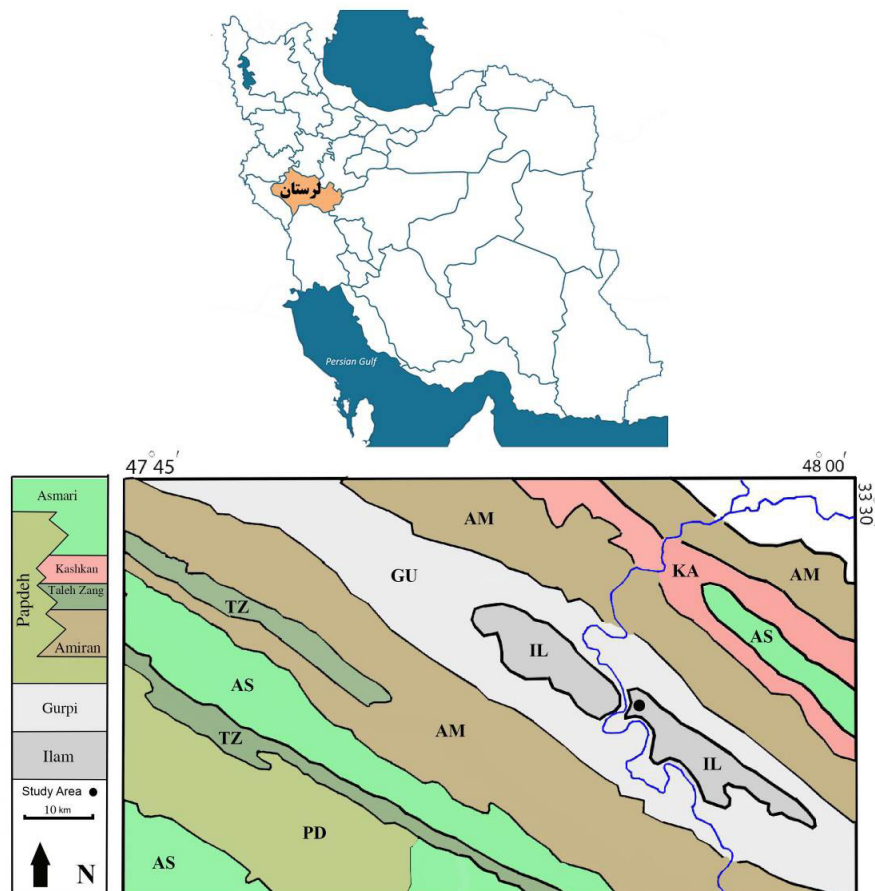
پژوهشگران زیادی بر روی توالی کربناته سازند ایلام فعالیت کرده‌اند. (اسدی، ۱۳۸۴) در منطقه اینده ژئوشیمی و سنگ‌شناسی سازند ایلام را مورد مطالعه قرار داد. در این پژوهش با مطالعه ایزوتوپ‌های اکسیژن و کربن بازسازی محیط دیرینه این سازند را در ۴ کمربند رخسارهای کشندی، لاغون، سد و دریاگاه باز، مشخص کرد. (تیموریان، ۱۳۸۳) از مطالعه سازند ایلام در چاههای ۱۴۰ و ۵۶ برای این توالی کربناته سنی معادل سانتونین در نظر گرفت. (چهارده‌چریک و همکاران، ۱۳۸۵) با مطالعه زیست‌چینه‌نگاری سازند ایلام محدوده سنی سانتونین پسین- کامپانین را ارائه داد. (وزیری و همکاران، ۱۳۸۵) در جنوب‌باخته خرم‌آباد در یک برش سطحی، محدوده سنی توروین میانی- سانتونین را بر اساس (گرادرسن و همکاران، ۲۰۰۴) پیشنهاد داد. (عمرانی، ۱۳۸۸) در برش چینه‌شناسی عسلویه مرز زیرین سازند ایلام را با نایپیوستگی بر روی سروک و در بالا بصورت هم‌شیب در زیر سازند گوربی معرفی کرد. پژوهشگران متعدد دیگری مطالعات فراوانی بر روی این سازند انجام داده‌اند که می‌توان به (شوشتريان و همکاران، ۱۳۹۰؛ بخشند و همکاران، ۱۳۹۳) و ... اشاره نمود.

موقعیت جغرافیایی و راه‌های دسترسی به برش چینه‌شناسی مطالعه شده
برش چینه‌شناسی مورد مطالعه در جنوب‌غرب خرم‌آباد (زون ساختاری زاگرس)، در ۴۵ کیلومتری خرم‌آباد به پلدختر واقع است. نزدیک‌ترین روستا به برش مورد مطالعه روستای چم‌حیدر به فاصله ۵ کیلومتر است. این برش در حاشیه جاده قرار دارد و راه دسترسی به آن از طریق مسیر جاده خرم‌آباد به پلدختر امکان‌پذیر است. برش چینه‌شناسی مورد مطالعه در طول جغرافیایی

سازند ایلام در این برش چینه‌شناسی نسبتاً یکنواخت و با تنوع کم مشاهده شد که عبارت است از:

- بخش اول شامل $8/4$ متر تنابوی از سنگ‌آهک‌های متواترلايه به رنگ کرم با میان لایه‌هایی از شیل نازک لایه خاکستری رنگ تشکیل شده است.
- بخش دوم شامل $9/6$ متر سنگ‌آهک‌های ضخیم‌لایه کرم‌رنگ همراه با میان لایه‌ای از سنگ‌آهک خاکستری تیره نازک لایه می‌باشد.
- بخش سوم شامل تنابوی 172 متر از سنگ‌آهک‌های کرم رنگ متوسط تا ضخیم‌لایه می‌باشد.

سازند ایلام در این برش چینه‌شناسی با سازند سورگاه به طور تدریجی می‌باشد. در مرز بالایی رخسارهای سنگ آهک شیلی سازند ایلام تدریجاً و به صورت پیوسته به سنگ‌آهک‌های خاکستری روش متوسط تا ضخیم‌لایه سازند گوربی تبدیل می‌شوند (شکل ۳). بر اساس مشاهدات سنگ‌چینه‌ای که با پیمایش بر روی برش مورد مطالعه انجام گرفت و بر اساس چرخه‌های رسوی مشخص شده، سازند ایلام در برش چینه‌شناسی مورد مطالعه قابل تقسیم و توصیف به سه بخش از پایین به بالا به شرح زیر می‌باشد. از لحاظ سنگ‌شناسی توالی رسوی



شکل ۱. نقشه ساختاری و جغرافیایی منطقه مورد مطالعه

Marginotruncana sigali (Reichel), *M. renzi* (Gandolfi); *M. schneegansi* (Sigal), *M. marginata* (Reuss); *M. marianosi* (Douglas), *M. sinuosa* Porthault; *M. pseudolinneiana* Pessagno, *Dicarinella canaliculata* (Reuss); *D. concavata* (Brotzen); *D. asymmetrica* (Sigal); *D. imbricata* (Mornod), *D. hagni* (Scheibnerova); *D. primitiva* (Dalbiz), *D. algeriana* (Caron), *Heterohelix globulosa* (Ehrenberg), *H. reussi* (Cushman); *H.*

زیست‌زون‌های سازند ایلام در برش مورد مطالعه در پژوهش حاضر، زیست‌چینه‌نگاری سازند ایلام در برش چینه‌شناسی چم‌حیدر از تعداد ۱۶۸ نمونه برداشت شده در این مطالعه تعداد ۱۰ جنس، ۴۰ گونه و ۴ بایوزون از روزنبران شناور تشخیص داده شد. روزنبران مهم حاضر در این برش چینه‌شناسی عبارتند از:

تجمع فسیلی فوق و تشخیص ظهور و انقراض گونه‌های شاخص روزنبران شناور در برش مورد مطالعه در نهایت منجر به شناسایی و معروفی زیست‌زون‌های زیر شده است. این مطالعه بر اساس (پرمولی سیلو و ورگ، ۲۰۰۴) صورت گرفته که با زیست‌زون‌های ۴ گانه زیر معروفی می‌شود.

moremani (Cushman), *Ventilabrella eggeri* (Cushman); *Muricohedbergella delrioensis* (Carsey), *M. holmdelensis* (Olsson), *M. planspira* (Tappan); *Porthault*, *Whiteinella baltica* (Douglas & Ranki), *W. inornata* (Bolli); *W. archaeocretacea* (Pessagno), *Globotruncana stuartiformis* (Dalbiez), *G. elevata* (Brotzen); *Archeoglobigerina bosquensis* (Pessagno), *Globotruncana bulloides* (Vogler).



شکل ۲. (الف) نمایی از مرز زیرین سازند ایلام با سازند سورگاه (دید به جانب شرق)، (ب) نمایی از مرز بالایی سازند ایلام با سازند گوربی (دید به جانب شرق) و (ج) نمایی از سنگ‌آهک‌های متواتلایه در توالی سازند ایلام در برش مورد مطالعه

می‌دهد بر اساس محتوای فسیلی این زون محدوده سنی تورونین میانی تا تورونین پایانی را مشخص می‌کند.

محتوای فسیلی این زیست‌زون عبارت است از: *Marginotruncana schneegansi*, *M. renzi*, *M. sigali*, *M. marginata*, *Muricohedbergella delrioensis*, *Mu. flandrina*, *Whiteinella archaeocretacea*, *W. baltica*, *Dicarinella primitiva*, *Heterohelix globulosa*, and *H. reussi*.

با توجه به نمونه‌برداری از مرز زیرین و برداشت تعداد ۱۲ نمونه سنگی که متعلق به سازند سورگاه می‌باشد، شایان ذکر است که در هیچ‌یک از نمونه‌های مذکور حضور گونه *Marginotruanca helvetica* مشاهده نشد ولی با

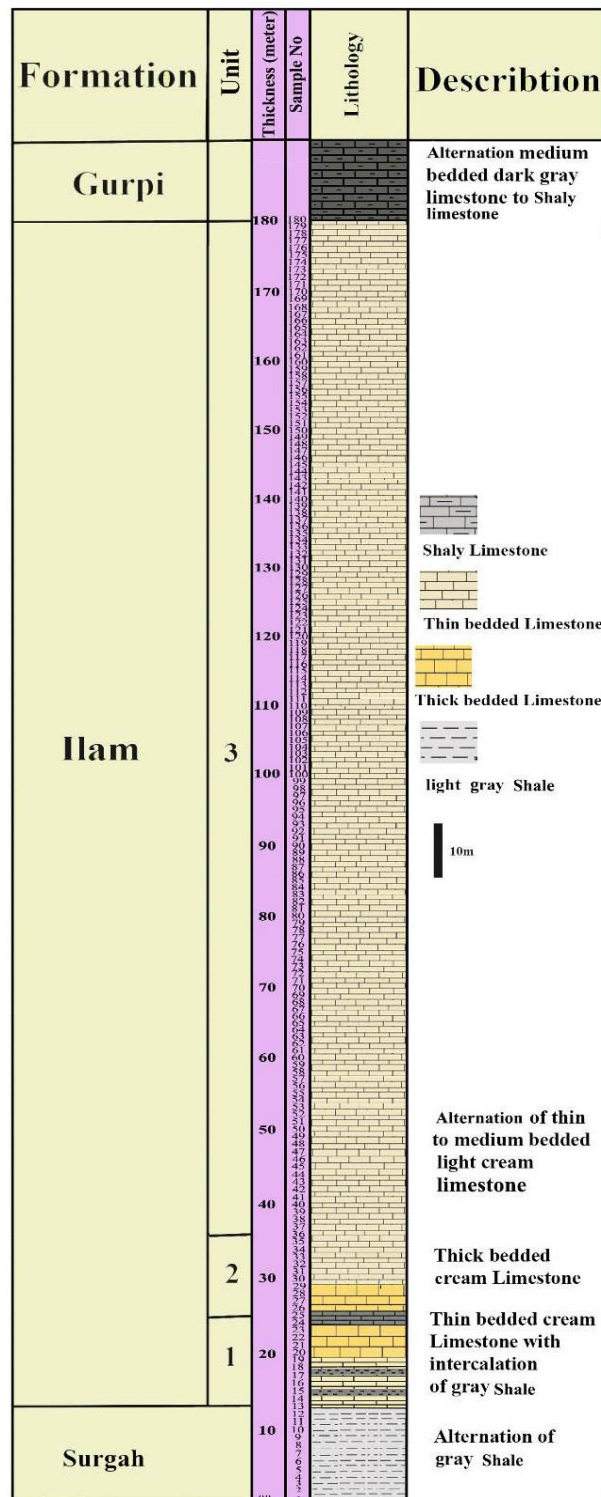
1- *Marginotruncana sigali* – *Dicarinella primitiva* zone

Author: Premolisilva & Sliter (1999)

این زیست‌زون از نوع Partial Range Zone می‌باشد و از *Helvetoglobotruncana helvetica* محدوده انقراض گونه تا محدوده پیدایش *Dicarinella primitive* ادامه دارد. (کارن، ۱۹۸۵) این زون را به دو زیست‌زون *Marginotruncana sigali* Partial Range Zone *Dicarinella primitiva* و زیست‌زون *Interval Zone* با سن کنیاسین زیرین تقسیم کرده است. در این مطالعه با یوزن شماره یک ستبرای ۱۴ متر از سازند سورگاه را در برش چینه‌شناسی چم‌حیدر پوشش

Helvetoglobotruncana را بر انقراض گونه *Dicarinella primitive* و پیدایش گونه *Helvetica* منطبق دانست.

توجه به روند زیستزون‌ها و جایگاه چینه‌شناسی آن‌ها و همچنین با توجه به فسیل‌های همراه در این نمونه‌ها از *M. renzi*, *Heterohelix globulosa*, قبیل، می‌توان شروع این *Marginotruncana marginata*,



شکل ۳. ستون سنگ‌چینه‌شناسی سازند ایلام در برش موردمطالعه

با عنایت به عدم حضور گونه‌های *Globotroncana* تا انتهای این زیست‌زون طبیعتاً محدوده زمانی این زون را تا انتهای آشکوب سانتونین می‌توان در نظر گرفت (صادقی، ۱۳۹۳).

4- *Globotruncanita elevata zone*

Author: Postuma, 1971

این زون زیستی از نوع Partial range zone می‌باشد و شامل محدوده حضور بخشی از گونه (Plate 2, G) *Globotruncanita elevata* در فاصله انقراض گونه *Dicarinella asymetrica* (Plate 1, 2a-c) و ظهر گونه *Globotruncana ventricosa* می‌شود. این زون زیستی ۱۰ متر از قاعده سازند گورپی را در بر می‌گیرد. بر اساس روزن بران همراه محدوده سنی این زیست‌زون به کامپانین پیشین مربوط می‌شود. محتوای فسیلی این زیست‌زون عبارت است از:

Globotruncanita stuartiformis (Dalguez), *G. elevata*, *Globotruncana bulloides*, *Archaeoglobigerina blowi* (Pessagno), *Heterohelix reussi*, *H. globulosa*, *H. sphenoides*, *H. carinata*, *Laeviheterohelix glabrans*, *Contusotruncana patelliformis*, *Globotruncana arca*, *G. bulloides*, *G. linneiana*, *G. orientalis*, and *G. marieii*.

بحث

در برش مورد مطالعه تعداد ۴ بایوزون بر اساس (پرمولی-سیلوا و ورگا، ۲۰۰۴) مطالعه و معرفی شد. بایوزون با *Marginotruncana sigali*- *Dicarinella primitive* سن تورونین میانی- پایانی که در این پژوهش در سازند سورگاه قرار دارد با بایوزون‌های شماره ۱ و ۲ معرفی شده در برش نمونه سازند سورگاه بر اساس بایوزون‌سیوون (کارن، ۱۹۸۵) توسط (منجزی، ۱۳۸۵) قابل مقایسه است. همچنین این بایوزون هم‌ارز با بایوزون شماره ۱ معرفی شده در برش تاقدیس شاهنخجیر توسط (صادقی و رازیانی، ۱۳۹۳) می‌باشد، با این تفاوت که در این مطالعه شواهدی مربوط به حضور قاعده بایوزون شماره ۱ در سازند سروک دیده نشده که می‌تواند به دلیل عدم رخمنون سازند سروک در برش روستای چم‌حیدر باشد.

سایر بایوزون‌ها در برش روستای چم‌حیدر با نتایج مطالعات (صادقی و رازیانی، ۱۳۹۳) از لحاظ سنی مشابه است. بایوزون‌های *Dicarinella Concavata* (Plate 1, 1a-c) به *Dicarinella asymetrica* (Plate 1, 2a-c) (تورونین پایانی تا سانتونین پیشین) و بایوزون (سن (تورونین پایانی تا سانتونین پیشین) و بایوزون (Plate 1, 2a-c) به *Dicarinella asymetrica* (I, 2a-c

2- *Dicarinella concavata zone*

Category: Interval zone

Author: Premoli silva & Verga, 2004

این زون زیستی از نوع اینترووال‌زون می‌باشد و دارای محتوای فسیلی متنوع‌تری نسبت به زیست‌زون قبلی می‌باشد. این زون زیستی محدوده بین اولین پیدایش گونه (*Dicarinella concavata* (Plate 1, 1a-c) *Dicarinella asymetrica* (Plate 1, 2a-c)) را مشخص می‌کند (پرمولی‌سیلوا و ورگا، ۲۰۰۴). محتوای فسیلی فراوان بوده و بر تنوع فسیل‌ها در این زیست‌زون افروده می‌شود از علائم این زیست‌زون می‌توان به فراوانی *Marginotruncana sigali* (Plate 2, A) و فراوانی *Whiteinellids* اشاره کرد، به نحوی که علاوه بر گونه‌های قبلی، تعدادی از جنس‌ها و گونه‌های دیگری همچون موارد زیر بر آن‌ها افزوده می‌شود:

Marginotruncana schneegansi, M.
pseudolinneiana, M. *marginata*, M. *renzi*, M. *sigali*, M. *delrioensis*, *Whiteinella baltica*, *Heterohelix globulosa*, H. *reussi*, H. *moremani*, *Macroglobigerinelloides* sp., *Dicarinella imbricata*, D. *primitive*, D. *concavata*, *Archaeoglobigerina bosquensis*,
Muricohedbergella planispira,
Archaeoglobigerina blowi.

با توجه به فونای فسیلی و همچنین بر اساس (پرمولی-سیلوا و ورگا، ۲۰۰۴) محدوده سنی تورونین پایانی تا سانتونین پیشین را می‌توان برای این زیست‌زون در نظر گرفت.

3- *Dicarinella asymetrica zone*

Category: Total range zone

Author: Robaszinsky & Caron, 1995

این زیست‌زون محدوده پیدایش و انقراض گونه (Plate 1, 2a-c) *Dicarinella asymetrica* (2a-c) را شامل می‌شود. حدفاصل زمانی انتهای سانتونین پیشین تا ابتدای کامپانین را شامل می‌شود. در این زیست‌زون بیشترین تنوع روزن بران شناور را شاهد هستیم. در بخش‌های بالایی این زیست‌زون رفتار فرهنگی از فراوانی برخی گونه‌های جنس *Dicarinella* کاسته می‌شود. محتوای فونای فسیلی این زون زیستی عبارت است از:

Marginotruncana pseudolinneiana, M. *renzi*, M. *sigali*, M. *schneegansi*, M. *marginata*, *Heterohelix reussi*, H. *globulosa*, *Heterohelix moremani*, *Dicarinella primitive*, D. *concavata*, *Muricohedbergella planispira*, *Archaeoglobigerina blowi*, and *Textularia ripleynensis*.

نمونه توسط (چهارده‌چریک، ۱۳۸۵)، بایوزون‌های ۱ و ۲ برش مورد مطالعه در برش نمونه گزارش نشده است و سن سازند ایلام در برش نمونه از بایوزون شماره ۳ *Dicarinella asymmetrica* به سن سانتونین پسین آغاز می‌شود. هم‌چنین بایوزون شماره ۴ در برش مورد مطالعه (*Plate 2, G*) با سن کامپانین *Globotruncanita elevata* معادل بایوزون شماره ۲ در برش نمونه می‌باشد با این تفاوت که در برش نمونه این بایوزون تماماً در سازند ایلام قرار دارد، در صورتی که در برش مورد مطالعه فقط قاعده این بایوزون در سازند ایلام قرار دارد و در ادامه وارد سازند گوربی می‌شود.

پیشین تا سانتونین (پایانی) در هر دو برش چینه‌شناسی مشابه هم می‌باشند با این تفاوت که در برش تاقدیس شاهنخجیر بایوزون‌های مذکور به سازند سورگاه تعلق دارند ولی در برش مورد مطالعه بایوزون‌های ۲ و ۳ به سازند ایلام *Globotruncanita elevata* تعلق دارند. بایوزون شماره ۴ در برش مورد مطالعه معادل با سن (کامپانین پیشین) در برش مورد مطالعه (*Plate 2, G*) با سن (کامپانین پیشین) در برش نمونه توسط (صادقی و رازیانی، ۱۳۹۳) بر اساس (وایند، ۱۹۶۵) می‌باشد با این تفاوت که در برش مورد مطالعه قاعده این بایوزون در سازند ایلام و راس آن در سازند گوربی قرار دارد ولی در برش نمونه بطرور کامل در سازند ایلام قرار دارد. در مقایسه با بایوزون‌های برش

جدول ۱. تطبیق زیست‌زون‌های معرفی شده مربوط به فاصله زمانی تورونین میانی-کامپانین پسین

Age	Wonders (1980)	Caron (1985)	Sliter (1989)	Robaszynski & Caron (1995)	Permoli Silva & Verga (2004)	This Study
M.Y	Tethys	Tethys	Tethys	Tethys	Tethys	Lurestan
Companian 83.6 ±0.2	<i>G.elevata</i>				<i>G.elevata</i>	<i>G.elevata</i>
Santonian 86.3 ±0.5	<i>carinata</i>	<i>Dicarinella asymetrica</i>	<i>Dicarinella asymetrica</i>		<i>Dicarinella asymetrica</i>	<i>Dicarinella asymetrica</i>
Coniacian 89.8 ±0.3	<i>Dicarinella concavata</i>	<i>Dicarinella concavata</i>	<i>Dicarinella concavata</i>	<i>Dicarinella concavata</i>	<i>Dicarinella concavata</i>	<i>Dicarinella concavata</i>
Middle Turonian	<i>Dicarinella primitiva</i>	<i>M.sigali</i>	<i>M.sigali</i>	<i>Marginotrunca sigali</i>	<i>Marginotrunca sigali</i>	<i>Marginotrunca sigali</i>
	<i>helvetoglobotruncana helvetica</i>	<i>helvetoglobotruncana helvetica</i>	<i>helvetoglobotruncana helvetica</i>	<i>schnegansi</i>	<i>primitiva</i>	<i>primitiva</i>
				<i>helvetoglobotruncana helvetica</i>	<i>H.helvetica</i>	<i>H.helvetica</i>

-۴- بر اساس وجود گونه‌های روزن‌بران شناور در این برش چینه‌شناسی تعداد ۴ زیست‌زون مطالعه و معرفی شد که عبارتند از :

Marginotrunca sigali – *Dicarinella primitiva* zone

Dicarinella concavata zone

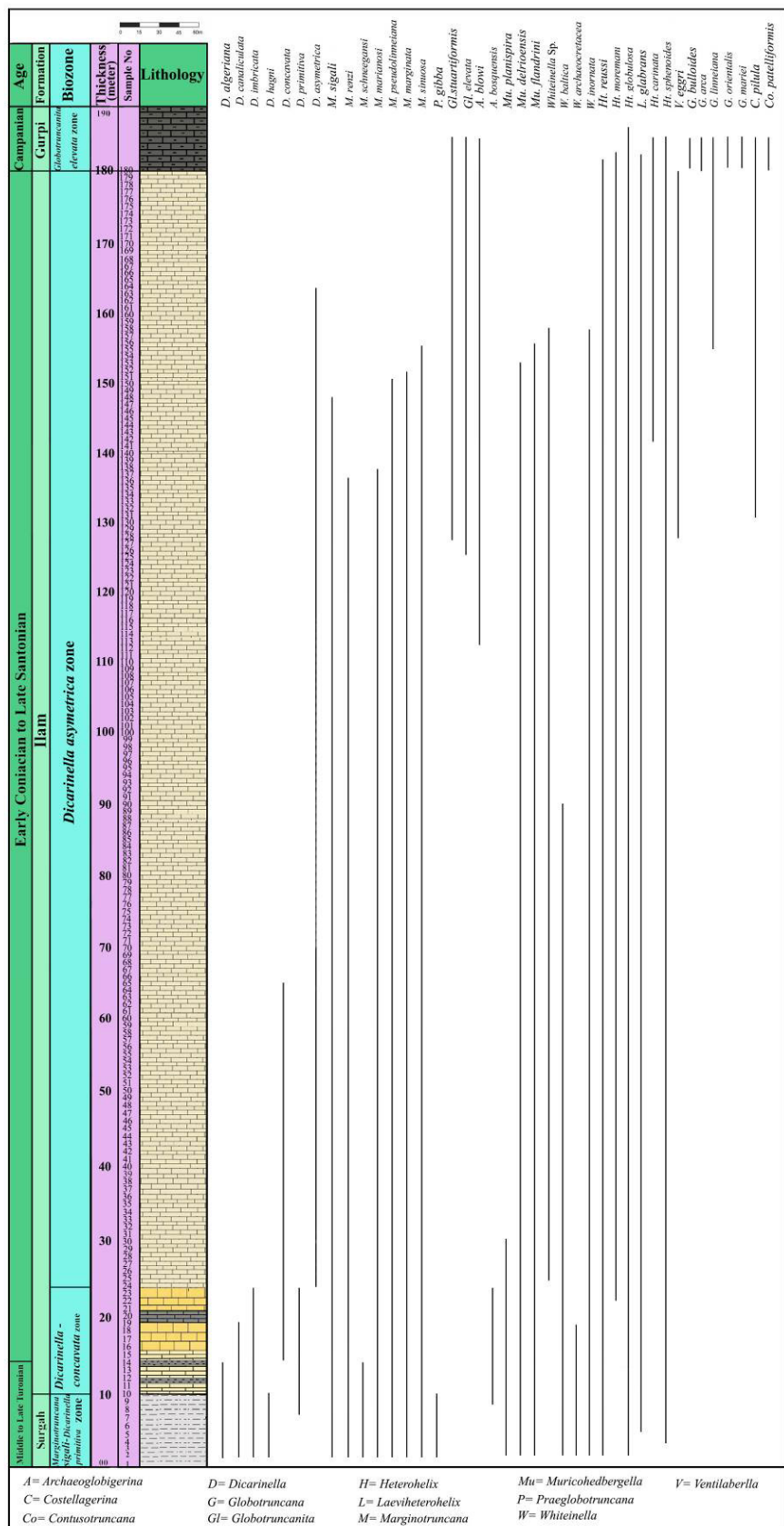
Dicarinella asymetrica zone

Globotruncanita elevata zone

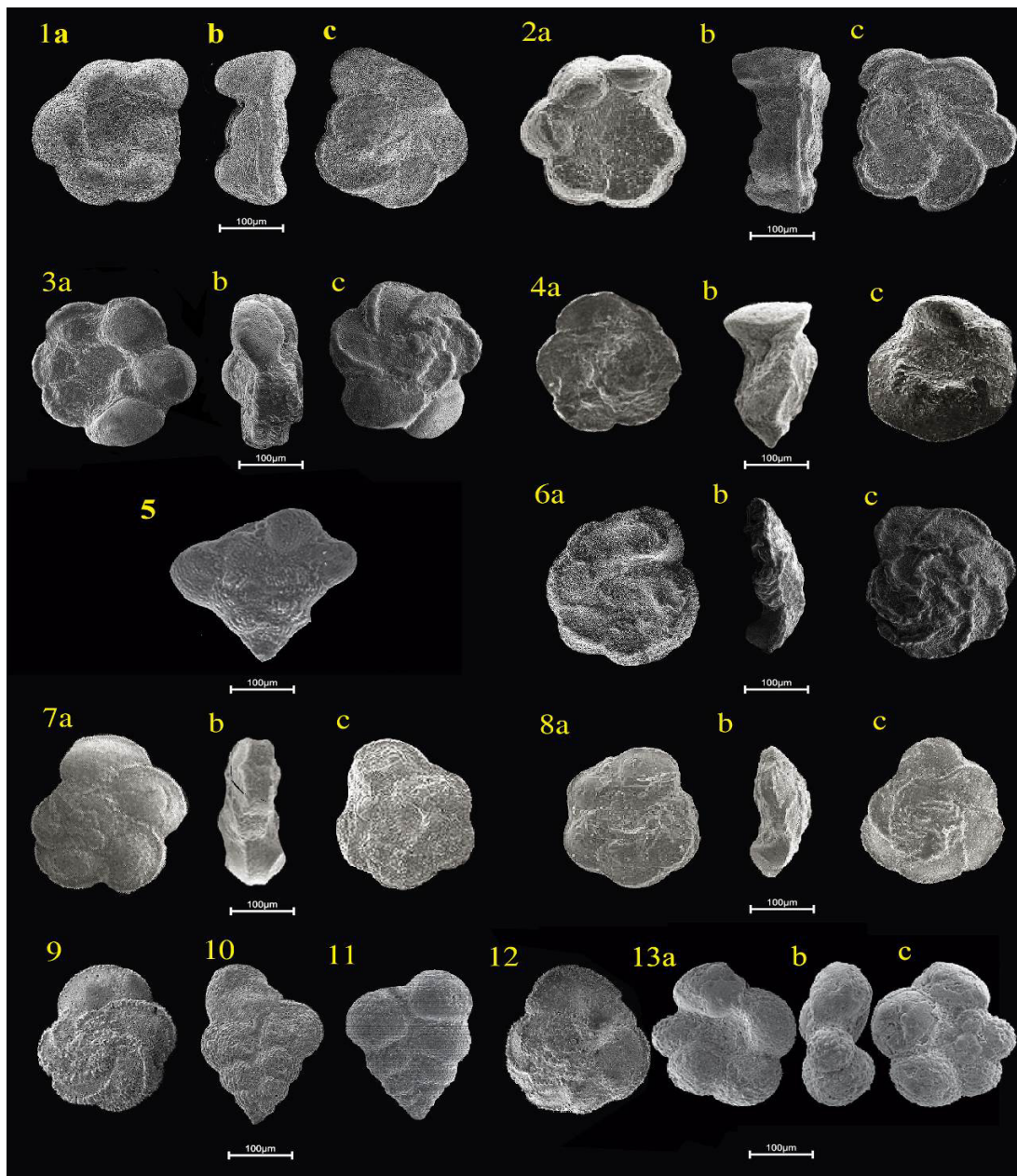
-۵- با عنایت به معرفی زیست‌زون‌های اخیر در برش مورد نظر و مشاهده و معرفی ۱۲ جنس، ۴۰ گونه و ۴ زیست‌زون، بر اساس (پرمولی‌سیلو و ورگا، ۲۰۰۴) سن تورنین- میانی - کامپانین زیرین تعیین گردید.

نتیجه‌گیری

- خاصیت سازند ایلام در برش مورد مطالعه ۱۹۰ متر و متشکل از توالی سنگ‌شناختی کربناته آهکی با ستبرای اغلب نازک تا متسط‌لایه خاکستری تا کرم رنگ می‌باشد.
- مرز زیرین سازند ایلام در برش مورد مطالعه با سازند سورگاه بصورت تدریجی و هم‌شبیب می‌باشد.
- مرز فوقانی سازند ایلام در برش مورد مطالعه با سازند گوربی به صورت تدریجی می‌باشد که با آغاز زون *Globotruncanita elevata* مطابقت دارد.



شکل ۴. ستون تغییرات چینه‌نگاری سازند ایلام در برش چینه‌شناسی چم حیدر

**Plate 1:**

Planktonic foraminiferal specimens: 1a-c, *Dicarinella concavata*, Sample (PR-25). 2a-c, *Dicarinella asymmetrica*, Sample (PR-158). 3a-c, *Dicarinella imbricata*, Sample (PR-47). 4a-c, *Globotruncanita elevate*, Sample (PR-163). 5, *Ventilabrella eggeri*, Sample (PR-165). 6a-c, *Globotruncana arca*, Sample (PR-183). 7a-c, *Marginotruncana marginata*, (PR-85). 8a-c, *Globotruncana orientalis*, (PR-181). 9, *Marginotruncana sp.*, (PR-33). 10, *Heterohelix reussi*, (PR-66). 11, *Heterohelix sphenoides*, (PR-21). 12, *Marginotruncana sp.*, (PR-2). 13&b, *Whiteinella archaeocretacea*, (PR-18).

Plate 2:

- A-*Marginotruncana sigali*, Dalbiez, 1955, sample no. P.R126, Axial section.
- B-*Marginotruncana renzi* Gandolfi, 1942, sample no. P.R 139, Axial section.
- C-*Marginotruncana schneegansi* Sigal, 1952, sample no. P.R 13, Axial section.
- D-*Marginotruncana marginata*, Reuss, 1845 sample no. P.R 142, Axial section.
- E-*Dicarinella concavata* Brotzen, 1934, sample no. P.R 58, Axial section.
- F-*Dicarinella asymmetrica* Sigal, 1952, sample no. P.R 154, Axial section.
- G-*Globotruncanita elevata*, Brotzen, 1934, sample no. P.R 172, Axial section.
- H-*Globotruncana arca* Cushman, 1926, sample no. P.R 183, Axial section.

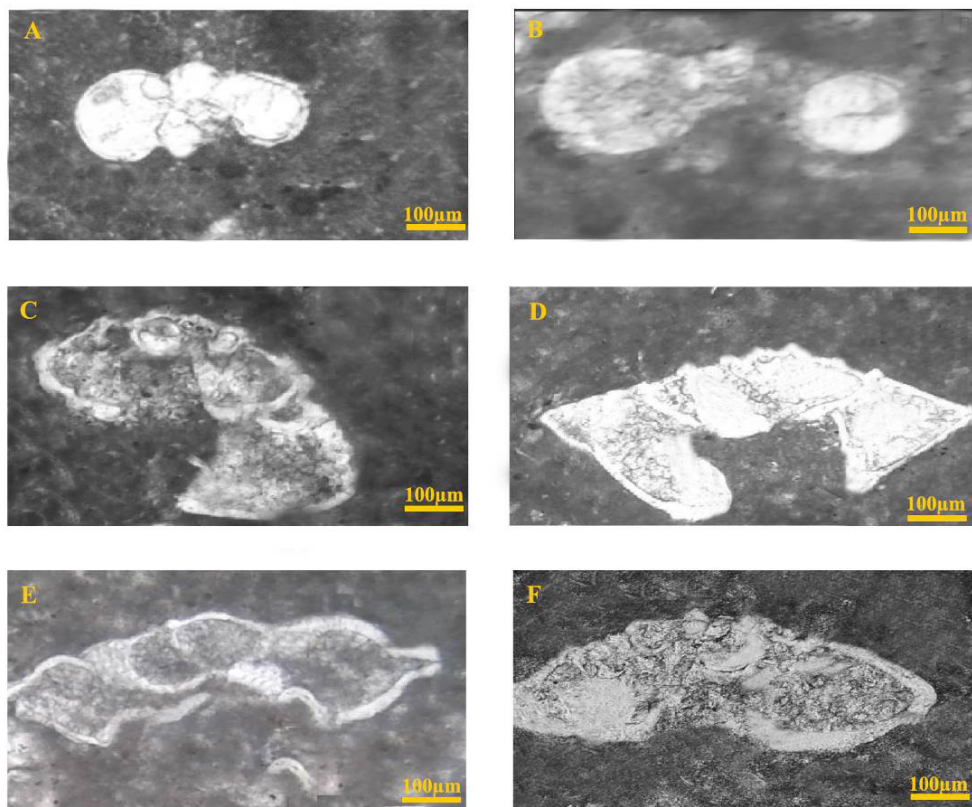


Plate 3:

- A- *Archaeoglobigerina blowi* Pessagno, 1967, sample no.P.R145, Axial section.
 B- *Muricohedbergella planispira* (Tappan), sample no.P.R30, Axial section.
 C- *Contusotruncana fornicata* (Plummer), sample no.P.R185, Axial section.
 D-*Globotruncanita stuartiformis* (Dalbeiz), sample no.P.R172, Axial section.
 E-*Dicarinella primitiva* (Dalbiez), sample no.P.R100, Axial section.
 F-*Dicarinella algeriana* (Caron, 1966), sample no.P.R13, Axial section.

APPENDIX

List of species identified in this work, arranged alphabetically

1. *Archaeoglobigerina blowi* (PESSAGNO, 1967)
2. *Archaeoglobigerina cretacea* (D'ORBIGNY, 1840)
3. *Contusotruncana patelliformis* (GANDOLFI, 1955)
1. *Dicarinella asymmetrica* (SIGAL, 1952)
2. *Dicarinella concavata* (BROTZEN, 1934)
3. *Dicarinella hagni* (SCHEIBNEROVA, 1962)
4. *Dicarinella imbricata* (MORNOD, 1949)
5. *Dicarinella primitiva* (DALBIEZ, 1955)
6. *Globotruncana arca* (CUSHMAN, 1926)
7. *Globotruncana bulloides* (VOGLER, 1941)
8. *Globotruncana linneiana* (D'ORBIGNY, 1839)
9. *Globotruncana orientalis* (EL NAGGAR, 1966)
10. *Globotruncana mariei* BANNER & BLOW, 1960
11. *Globotruncanita elevata* (BROTZEN, 1934)
12. *Globotruncanita stuartiformis* (DALBIEZ, 1955)
13. *Muricohedbergella delrioensis* (CARSEY, 1926)
14. *Muricohedbergella flandrina* (PORTHAULT, 1970)
15. *Muricohedbergella planispira* (TAPPAN, 1940)
16. *Heterohelix carinata* (CUSHMAN, 1938)
17. *Laeviheterohelix glabrans* (CUSHMAN, 1938)
18. *Heterohelix globulosa* (EHRENBERG, 1840)
19. *Heterohelix moremani* (CUSHMAN, 1938)
20. *Heterohelix reussi* (CUSHMAN, 1938)
21. *Heterohelix sphenoides* (MASTERS, 1976)
22. *Marginotruncana marginata* (REUSS, 1845)
23. *Marginotruncana mariannosi* (DOUGLAS, 1969)
24. *Marginotruncana pseudolinneiana* (PESSAGNO, 1967)
25. *Marginotruncana renzi* (GANDOLFI, 1942)
26. *Marginotruncana schneegansi* (SIGAL, 1952)
27. *Marginotruncana sigali* (REICHEL, 1949)
28. *Marginotruncana sinuosa* (PORTHAULT, 1970)
29. *Ventilabrella eggeri* (CUSHMAN, 1928)
30. *Whiteinella archaeocretacea* (PESSAGNO, 1967)
31. *Whiteinella inornata* (BOLI, 1957)
32. *Whiteinella baltica* (DOUGLAS & RANKIN, 1969)

- ایلام در جنوب باختر خرم‌آباد، فصلنامه علوم‌زمین، شماره ۱۳۹ ص ۶۷-۱۲۴
- Alavi, M (2004) Regional Stratigraphy of the Zagros Fold-Thrust Belt of Iran and Its Proforeland Evolution, American Journal of Science, 304: 1-20. doi.org/10.2475/ajss.304.1.1
- Bolli, M (1945) Zur Stratigraphie der Oberen Kreide in den höheren Helvetischen Decken, Eclog. Helv, 37: 217-328.
- Bolli, H. M (1959) Planktonic Foraminifera from the Cretaceous of Trinidad, B, W I Bull Amer, Paleonto, Vol 39.
- Bolli, H. M (1966) Zonation of cretaceous to Pliocene marine sediments based on planktonic foraminifera Bolethin Informative Asociacion Venezolana De Geologia, Mineray petroleo,. pp 9.
- Bolli, H. M., Saunders, J. B & Perch-Nielsen, K (1989) Plankton Stratigraphy, Cambridge University Press, Cambridge, 1: 154:87.
- Caron, M (1989) Cretaceous Plankton foraminifera in Bolli, H M, et al. (editors), Planktonic Stratigraphy, Vol 1. Cambrige university press.
- Caron, M (1983) Taxonomie et phylogenie de la famille des Globotruncanidae, 2 nd kreide symposium, Munchen, 1982.
- Golonka, J (2004) Plate tectonic evolution of the southern margin of Eurasia in the Mesozoic and Cenozoic, Tectonophysics Journal, 381(1-4): 235-273, org/10.1016/j.tecto.2002.06.004
- Gradstein, F. M., Ogg, J. G., & Smith, A. G (2004) GEOLOGI TIME SCALE, Cambridge Univ Press.
- James, G. A., & Wynd, J. S (1965) Stratigraphic Nomenclature of Iranian Oil Consortium Agreement area, AAPG Bulletin.
- Kalantary, A (1976) Microbiostratigraphy of the Sarvestan Areas, Southwestern Iran, National Iranian Oil Company Geological Laboratories, Pub, No. 5: 129.
- Kalantary, A (1986) Microfacies of carbonate rocks of Iran, Tehran, National Iranian Oil Company, Geological Laboratories, Pub, No. 11: 520.
- Kalantary, A (1992) Lithostratigraphy and Microfacies of Zagros Orogenic Area. S.W. Iran. National Iranian Oil Company. Exploration and Production. Geological Laboratories. Pub. No. 12: 421.
- Ogg, J. G., Ogg, G. & Gradstein, F. M (2004) The Concise Geologic Timescale, Cambridge University Press, 150 pp.
- Sigal, J (1977) Essai du zonation du Cretace

تشکر و قدردانی

نویسنده‌گان از سردبیر و داوران محترم نشريه یافته‌های نوین زمین‌شناسی کاربردی که در جهت ارتقای کیفیت این مقاله، پیشنهادات ارزنده‌ای ارائه نمودند، کمال تشکر و قدردانی را دارند.

منابع

- آقاباتی، ع (۱۳۸۳) زمین‌شناسی ایران، انتشارات سازمان زمین‌شناسی و اکتشافات معدنی کشور، ۵۸۶ ص.
- اسدی‌مهراندوستی، ا (۱۳۸۴) ژئوشیمی و دیاژنز سازند ایلام در میادین نفتی آب‌تیمور و منصوری و رخمنون تنگ-رشید کوه پیون ایذه، رساله کارشناسی ارشد، دانشکده علوم زمین، دانشگاه شهید بهشتی، ۱۳۵ ص.
- بخشنده، ل، محتاط، ط، بخشنده، ح، سنمماری، س (۱۳۹۱) زیست زون‌بندی و فراوانی روزنبران در برش تیپ سازند ایلام، فصلنامه علوم زمین، سال ۲۳، شماره ۹۲، ص ۸۴-۷۵.
- تیموریان، ا (۱۳۸۳) چینه‌نگاری زیرزمینی سازنده‌ای سروک و ایلام (گروه بنگستان) در منطقه شرق اهواز، پایان‌نامه کارشناسی ارشد، دانشگاه اصفهان.
- چهارده‌چربیک، غ (۱۳۸۵) زیست‌چینه‌نگاری سازند ایلام (مقطع تیپ) بر اساس فرامینیفرهای پلانکتونیک، جنوب شرقی ایلام، رساله کارشناسی ارشد، دانشگاه اصفهان، ۱۲۲ ص.
- شوشتريان، ف، آدابي، م، صادقى، ع، حسیني‌برزى، م، لطفپور، م (۱۳۹۰) کالني‌شناسي اوليه سازند ایلام بر اساس داده‌های ژئوشيميايی در برش نمونه، تاقديس پيون و مقطع تحت‌الارضي دانان-a، مجله پژوهش‌هاي چينه‌نگاري و رسوب‌شناسي، سال ۲۷، شماره ۴۴، ص ۳۹-۶۸.
- صادقى، ع، رازيانى، م (۱۳۹۳) زیست‌چینه‌نگاری سازند سورگاه در برش تاقديس کوه شاهنخجیر (جنوب باختر ایلام) بر پایه روزنبران پلانکتونی و مقایسه آن با برش نمونه، فصلنامه علوم زمین، شماره ۹۳، ص ۱۱۹-۱۲۶.
- عمراني، م، خسرو‌تهراني، خ، باغانى، د، کشانى، ف (۱۳۸۹) یافته‌های نوین در چینه‌نگاری زیستی سازند ایلام در کوه عسلويه (حوضه) زاگرس، فصلنامه علوم‌زمین، دوره ۲۰، شماره ۷۸، ص ۵۳-۶۰.
- مطيري، ه (۱۳۸۲) زمین‌شناسی ایران، چينه‌شناسي‌زاگرس، سازمان زمین‌شناسی و اکتشافات معدنی کشور، ۵۸۳، ص.
- وزيرى، ح، جهانى، د، صدرى، م، چگنى، ف (۱۳۸۷) سنگ چينه‌شناسي، ريزپيشت چينه‌شناسي و ريزخساره سازند

- mediterraneenne a laide des foraminifères planctoniques, Geologie Mediterraneenne, 4: 99-108.*
- Sliter, W. V (1989) Biostratigraphic zonation for Cretaceous planktonic foraminifers examined in thin section, Journal of Foraminiferal Research, 19(1): 1-19.*
- Stampfli, G. M., & Borel, G. D (2002) A plate tectonic model for the Paleozoic and Mesozoic constrained by dynamic plate boundaries and restored synthetic oceanic isochrones, Earth and Planetary Science Letters, 196: 17-33.*
- Talbot, C. J., & Alavi, M (1996) The past of a future syntaxis across the Zagros. In Salt tectonics, (eds., G. I. Alsop, D. J., Blundell & I, Davison), 100: 89-109.*
- Vaziri Moghadam, H (2002) Biostratigraphic Study of the Ilam and Gurpi Formations Based on planktonic foraminifera in se of Shiraz, Iran, Journal of Sciences, Islamic Republic of Iran 13(4): 339-356.*

Micropaleontology and lithostratigraphy of the late Cretaceous deposits (Turonian - Campanian) based on planktonic foraminifera in the Lurestan, southwest of Khorramabad

P. Rajabi

Assist. Prof., Dept., of Geology, Payame Noor University, PO BOX 19395-3697, Tehran, Iran

*paleo@dr.com

Received: 2020/5/28 Accepted: 2020/12/12

Abstract

In the present study, a stratigraphic section was selected on the Poshte-Jangal anticline in the southwestern part of Khorramabad to study the microbiostratigraphy of the Cretaceous sediments. This section with a thickness 190 meters consists of invariable thin to medium bedded limestones with Middle Turonian to Late Santonian age which were deposited in a continuous sedimentation process. Both lower and the upper boundaries of this formation with The Surgah and Gurpi formations are conformable, respectively. In the present study of the Ilam Formation, 12 genera, 40 species and 4 biozones of the planktonic foraminifera were recognized. Based on the stratigraphic distribution of the introduced species and identified biozones the Middle Turonian to Late Santonian age is suggested for deposits of the Ilam Formation in this stratigraphic section.

Keywords: Ilam formation, Biostratigraphy, Turonian, Santonian, Lorestan